

Figure 9: Energia de gap normalizata, ca functie de T/T_c , pentru cuasiparticulele FES (a) si Landau (b): Δ/Δ_0 (Eq. 28) si $(\Delta + V_I N_{ex})/\Delta_0$ (Eq. 30). Curba neagra din fiecare figura corespunde energiei de gap BCS, adica este calculata pentru $V_I = 0$. T_c este temperatura critica BCS.

5 Aplicatii ale statisticii fractionare de excluziune in cadrul sistemelor cu dezordine

Utilizand metoda statisticii fractionare de excluziune (FES) in contextul simularilor Monte Carlo analizam diferite sisteme cu dezordine: *Fermi glass* (FG) si *Coulomb glass* (CG), la care se poate adauga si sistemul de tip *Bose glass* (BG), cat si o varianta propusa de sistem vitros, ce include interactii repulsive cat si atractive. Aceste sisteme sunt reunite in cadrul formalismului sub numele de *FES glasses*.

Sistemele sunt analizate prin comparatie un sistem uniform de fermioni fara interactie (UN), avand o densitate constanta de stari. Sistemul FG este de asemenea fara interactie, insa densitatea de stari prezinta in distributia spatiala doua valori σ_l si σ_h , dispuse arbitrar. In continuare, sistemul CG este construit avand la baza sistemul FG, la care se adauga o interacție repulsiva de scurta distanta. In plus, consideram un sistem in care interacțiile sunt mixte, repulsiv-atractive, denumit in continuare generic *FES glass* (FESG).

Vom utiliza ratele de tranzitie dezvoltate anterior:

$$\Gamma_{\Phi\Upsilon} \sim n_{\xi i} (1 + n_{\eta j} - A_{\eta j}) \prod_{(\zeta, k)} [1 + n_{\zeta k} - A_{\zeta k}]^{-\alpha_{\eta j, \zeta k}} \prod_{(\zeta, k)} [1 - A_{\zeta k}]^{\alpha_{\eta j, \zeta k}}, \quad (32)$$

unde $A_{\xi i} = \sum_{\eta, j} \alpha_{\xi i, \eta j} n_{\eta j}$. Se poate observa ca in cazul unui sistem omogen cu parametrii statistici diagonali, $\alpha_{\xi i, \eta j} = \alpha \delta_{\xi \eta} \delta_{ij}$, se recupereaza ratele de tranzitie indicate in [J. Stat. Mech. P09011 (2010)]:

$$\Gamma_{\Phi\Upsilon}(\alpha) \sim n_{\xi i} (1 - \alpha n_{\eta j})^\alpha [1 + (1 - \alpha) n_{\eta j}]^{1-\alpha}. \quad (33)$$

Ratele de tranzitie in ecuatia (32) reprezinta probabilitate de *salt*, adica probabilitatea pentru ca o particula din specia (ξ, i) sa efectueze un salt in specia (η, j) . Odata ce specia de destinatie este stabilita, mutarea este *acceptata* cu o probabilitate proportionala cu factorul Boltzmann, adica $\sim \min[1, \exp(-(E_\Phi - E_\Upsilon)/k_B T)]$.

Evolutia temporala a domeniilor, caracterizate de acumularea particulelor intr-o anumita regiune si corespunzator golirea altor regiuni, este descrisa de functiile de corelatie spatiala si

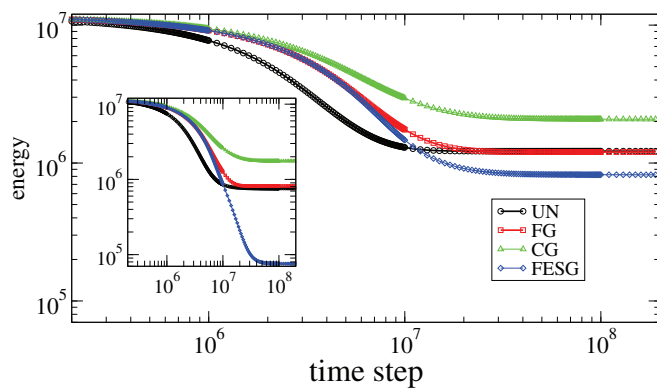


Figure 10: Relaxarea energiei totale pentru sistemele UN, FG, CG si FESG, la doua temperaturi diferite, $T_1 = 0.5E_F/k_B$ (grafic principal) si $T_2 = 0.05E_F/k_B$ (inset).

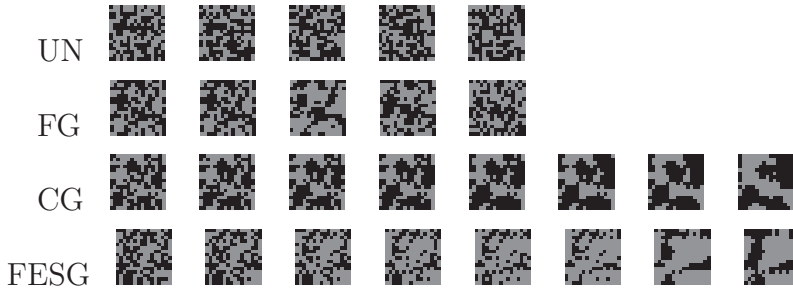


Figure 11: Evolutia domeniilor in timp, comparativ pentru UN, FG, CG si FESG la $T = 0.5$. Scalele de timp t_w sunt urmatoarele: $6 \cdot 10^6 - 10^7$ (UN), $9 \cdot 10^6 - 4 \cdot 10^7$ (FG), $4 \cdot 10^6 - 2 \cdot 10^7$ (CG) si $10^6 - 5 \cdot 10^6$, $10^7 - 2 \cdot 10^7$ (FESG), in pasi de 10^n pentru $m_1 10^n < t_w < m_2 10^n$.

autocorelatie:

$$\bar{C}(r, t_w) = \frac{1}{N_s} \sum_{\xi} [\langle \mathcal{D}_{\xi} \mathcal{D}_{\eta} \rangle - \langle \mathcal{D}_{\xi} \rangle \langle \mathcal{D}_{\eta} \rangle]_{av}, \quad r = |\mathbf{r}_{\xi} - \mathbf{r}_{\eta}| \quad (34)$$

$$\tilde{C}(t, t_w) = \frac{1}{N_s} \sum_{\xi} [\langle \mathcal{D}_{\xi}(t + t_w) \mathcal{D}_{\xi}(t_w) \rangle]_{av}, \quad (35)$$

unde N_s este numarul total de elemente (sub-volume) din spatiul real, t_w este timpul de asteptare si $\langle \cdot \rangle$, $[\cdot]_{av}$ sunt mediile termice si dupa dezordine. Folosind functiile de corelatie, se poate analiza dinamica tipica de ne-echilibru specifica sistemelor de tip sticla (*glassy systems*).

In Fig. 11 este redata evolutia in timp a domeniilor pentru fiecare dintre sistemele analizate. Se pune astfel in evidenta, caracterul de sisteme in ne-echilibru in cazul FESG comparativ cu celelalte sisteme, in care evolutia catre echilibru este mult mai rapida.

Formalismul dezvoltat pe baza statisticii fractionare de excluziune pune la dispozitie o interpretare unica a sistemelor de particule in interactie cu proprietati vitroase (e.g. *Fermi, Coulomb, Bose glass*).

Mai multe detalii se pot gasi in lucrarea **Rom. J. Phys.** **60**, 691 (2015).

6 Metode teoretice noi pentru studierea statisticii cuantice a fononilor in nanostructuri

Metoda propusa pentru studierea structurilor cristaline finite este o generalizare a celei folosite in materia condensata pentru sisteme infinite si care, in esenta, se bazeaza pe seriile Fourier. Pentru a descrie starile proprii ale ecuatiei Schrodinger pe o retea finita vom folosi o generalizare a identitatii, pe care am demonstrat-o anterior [24] si care face legatura intre o suma finita de la o functie periodica $f(z; x) = f(z; x + \tau)$ cu dezvoltarea acestei functii in seriile Fourier (l, m, n, N sunt numere intregi):

$$\frac{1}{N} \sum_{m=0}^{N-1} f\left(z; x + \tau \frac{m}{N}\right) = \sum_{l=-\infty}^{\infty} \exp(i2\pi xlN/\tau) c_{lN}(z). \quad (36)$$

$$c_n = \frac{1}{\tau} \int_0^\tau f(z; x) \exp(-i2\pi xn/\tau) dx$$

Pentru cazul particular al excitatiilor magnetice, cum am aratat anterior, se realizeaza situatia cand $\tau = 2\pi$, deoarece functia $f(z; x) = \exp(z \cos x) = f(z; x + 2\pi)$ este legata de suma statistica dupa dispersia magnonilor feromagnetic, $\varepsilon(Q) = 2J(1 - \cos(Q))$. Aceasta dispersie poate fi extinsa pentru retele de mai multe dimensiuni, unde Q este numarul (vectorul) de unda exprimat in unitatile pasului retelei, a . In nanostructuri acest numar quantic poate diferi de $2\pi m/N$, care corespunde conditiilor ciclice, dar si distributia numerelor cuantice, dupa cum vom vedea, poate fi neuniforma. Din (36) rezulta ca pentru $\tau = 2\pi$ suma respectiva este generatoare de functii Bessel modificate $I_n(z)$:

$$\frac{1}{N} \sum_{m=0}^{N-1} \exp\left(z \cos\left(x + 2\pi \frac{m}{N}\right)\right) = I_0(z) + 2 \sum_{l=1}^{\infty} \exp(ixlN) I_{lN}(z), \quad (37)$$

folosind representarea

$$\frac{1}{\pi} \int_0^\pi \exp(z \cos y) \cos(ny) dy = I_n(z).$$

Eq. (37) generalizeaza formulele cunoscute din [25] obtinute pentru cazurile particulare, $N = 1, 2$. O proprietate remarcabila al acestei expresii este ca din dreapta relatiei avem seria corectiilor dupa $1/N$ la limita termodinamica (cu valoarea $I_0(z)$, $N \rightarrow \infty$ si $z \sim -\beta \equiv -1/k_B T = const$, i.e. limita se ia la temperatura constanta) a sumei din stanga. Acest procedeu, deschide posibilitatea construirii expresiilor analitice pentru functiile termodinamice ale sistemelor magnetice discrete finite si, dupa cum vom arata, permite tratarea diverselor conditii impuse la limita.

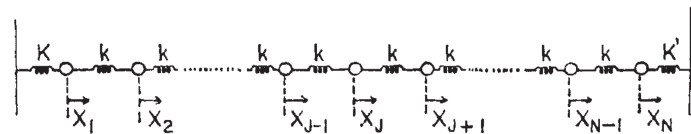


Figure 12: Lantul armonic din N atomi.

Pentru un lant armonic din N atomi de lungimea $L = N - 1$ conditiile la limita sunt stabilite de raportul dintre constantele $\delta \equiv K/k$ si $\delta' \equiv K'/k$, vezi Fig.12. Valorile δ traverseaza intervalul intre "lantul liber" $\delta = \delta' = 0$ (FB) si cel fix la capete $\delta = \delta' = \infty$ (CB). De mentionat ca modelul descrie si modurile longitudinale de vibratii in nanofibre, [26], si permite tratarea

interactiei electron-phonon in micro-dispozitivele electronice de racire cu multiple aplicatii [27]. Ecuatiile de miscare pentru deplasarile nodurilor retelei

$$M\ddot{x}_0 = -(K + k)x_0 + kx_1, \quad M\ddot{x}_j = k(x_{j-1} - 2x_j + x_{j+1}), \quad M\ddot{x}_L = -(K' + k)x_L + kx_{L-1}, \quad (38)$$

pot fi rezolvate prin diverse metode, e.g. [28], solutia fiind data de $j \equiv X = 0, 1, \dots, L$

$$x_j = a_m(X) \cos(\omega_m t), \quad \omega_m = \gamma |\sin(Q_m/2)|, \quad (39)$$

unde $\gamma/2 = \sqrt{k/M}$ este de ordinul vitezei sunetului si numerele cuantice Q sunt solutiile ecuatiei

$$\exp(i2QN) = \frac{(\exp(-iQ) + \delta - 1)(\exp(-iQ) + \delta' - 1)}{(\exp(iQ) + \delta - 1)(\exp(iQ) + \delta' - 1)}. \quad (40)$$

Expresiile explicite ale acestora sunt necesare pentru descrierea termodinamicii statistice cuantice, insa sunt cunoscute doar pentru cateva cazuri limita cand se verifica distributia uniforma a numerelor cuantice. De exemplu:

$$a_m^{CB}(X) = \sqrt{\frac{2}{L}} \sin(Q_m X), \quad Q_m = m\pi/L, \quad m = 1, \dots, L-1, \quad (41)$$

$$K = K' = 2k : a_m^{SB}(X) = \sqrt{\frac{2}{L+1}} \sin(Q_m(X + 1/2)), \quad Q_m = m\pi/(L+1), \quad m = 1, \dots, L$$

$$a_m^{FB}(X) = \sqrt{\frac{2}{L+1}} \cos(Q_m(X + 1/2)), \quad Q_m = m\pi/(L+1), \quad m = 0, \dots, L.$$

In ultima formula valoarea $Q_m = 0$ corespunde miscarii de translatie a centrului de masa (CM) al lantului liber $K = K' = 0$, detasata de miscarea oscilatorie din Eq.(39) ($\omega_m = 0$) a restului gradelor de libertate ($\omega \neq 0$), si data de solutia Eq. (38) $x_0 = x_1 = x_L = at + b$ - i.e. o miscare de translatie. Este firesc ca solutiile de tipul celor de mai sus sunt utilizate in diverse domenii pentru a trece la limita termodinamica, data fiind uniformitatea si simetria distributiei, care permite inlocuirea sumelor dupa m prin integrarea dupa variabile continue Q . Mentionam ca amplitudinile pot lua o forma simetrizata fata de centrul lantului prin $X \rightarrow X + L/2$, cum se procedeaza de obicei. Insa in contextul fizic realist, nu putem avea un sistem complet decuplat de exterior (FB) sau un cuplaj absolut simetric, $\delta = \delta'$, ceea ce presupune existenta unui "crossover" dupa constantele de cuplaj δ intre miscarea de translatie a CM catre miscarea oscilatorie si, astfel, participarea CM la termodinamica sistemului. Centrului de masa ii corespunde starea cu cea mai joasa energie. Astfel, se impune problema evolutiei starilor quantice intre limitele FB si CB, dar si problema cuplajului asimetric $\delta \neq \delta'$.

Am obtinut solutia completa data de amplitudine si solutiile Eq. (40) ($Q \equiv Q_m$)

$$a_m(X) = \sqrt{\frac{1}{F}} [\delta \sin(Q(X + 1)) + 2(1 - \delta) \sin(Q/2) \cos(Q(X + 1/2))]$$

$$\begin{aligned} F &= (\delta^2 + 4(1 - \delta) \sin^2(Q/2)) [2N + 1 - \sin((2N + 1)Q) / \sin(Q)] / 4 \\ &\quad + (1 - \delta) \sin(QN) (\sin(Q(N + 1)) - (1 - \delta) \sin(QN)). \end{aligned} \quad (42)$$

Parametrul δ' se contine implicit in $a_m(X)$ prin intermediul valorilor proprii Q din Eq.(42), ceea ce demonstreaza complexitatea comportamentului acestui sistem "simplu". In particular, constanta de normare $F = F(Q_m)$ devine dependenta de numarul cuantic al starii Q_m , in contrast cu solutiile uzitate din Eq. (41). O consecinta a reciprocitatii relatiilor de ortonormare

este generarea unei clase de identitati noi, departe de a fi triviale, pentru sumele finite implicand amplitudinile

$$\sum_{X=0}^{N-1} a_m^2(X) = 1 \Rightarrow \frac{1}{2} \sum_{m=0}^{2N-1} a_m^2(X) = 1. \quad (43)$$

Coeficientul $1/2$ si suma largita (*dupa setul complet de stari*) din dreapta reflecta degenerarea starilor pentru dispersia Eq.(39) in cazul lantului. Solutiile analitice se pot obtine pe ambele laturi ale "crossover"-ului si demonstreaza o neliniaritate in zona cuplajului slab, i.e. $\delta \ll 1$. Pentru a include si asimetria cuplajului, am presupus ca $\delta' = \alpha\delta \ll 1$, unde α este un coefficient de asimetrie liber. Obtinem urmatoarele expresii analitice pentru cuplajul slab, mai interesant din punct de vedere fizic, mentionand ca cuplajul tare duce la expresii liniare.

$$Q(m \geq 1) \simeq \frac{\pi m}{N} + \frac{\delta}{N} \times \frac{1+\alpha}{2} \times \frac{1 + \cos\left(\frac{\pi m}{N}\right)}{\sin\left(\frac{\pi m}{N}\right)},$$

$$Q(m=0) \simeq \sqrt{(1+\alpha)\delta/N}, \quad \delta N < 1. \quad (44)$$

Putem vedea ca egalitatea $\delta N = 1$ stabileste pozitia "crossoverul"-ui, si scoate in evidenta "rapiditatea" (dupa δ) cu care se trece de la miscarea de translatie la cea oscilatorie a CM. Numarul de unda cuantic $Q(m=0)$ corespunde excitatiei CM si, fiind substituit in Eq.(42), demonstreaza o amplitudine usor variabila, care insa nu completeaza semi-ciclul undei intregi pe spatiul lantului (i.e. e o unda incomensurabila cu L), avand energia cea mai joasa din spectru.

Pentru a calcula functiile termodinamice vom prezenta metoda incepand cu solutiile uniforme Eq. (41). Caldura specifica $C(T)$ poate fi redusa la forma (36)

$$C(T) = (\beta\gamma)^2 \frac{\partial^2 A}{\partial(\beta\gamma)^2} \equiv (\beta\gamma)^2 \frac{\partial^2}{\partial(\beta\gamma)^2} \sum_{n=1}^{\infty} \frac{1}{Nn} \sum_{m=0}^{N-1} \exp(-\beta\gamma n\omega_m). \quad (45)$$

Atunci similar cu (37) avem

$$\begin{aligned} & \frac{1}{N} \sum_{m=0}^{N-1} \exp\left(-z \left| \sin\left(x + \frac{\pi m}{N}\right) \right| \right) \\ &= \frac{1}{\pi} \int_0^\pi \exp(-z \sin y) dy + \sum_{l=1}^{\infty} \frac{2}{\pi} \int_0^\pi \exp(-z \sin y) \cos(2lN(x-y)) dy. \end{aligned} \quad (46)$$

In limita termodinamica (TDL) se obtine

$$C^{TDL}(T) = (\beta\gamma)^2 \frac{\partial^2}{\partial(\beta\gamma)^2} \sum_{n=1}^{\infty} \frac{1}{n} (I_0(n\beta\gamma) - L_0(n\beta\gamma))$$

unde $L_0(x)$ este functia Struve. Vom examina comportamentul la temperaturi joase, pentru care obtinem

$$\begin{aligned} C^{TDL}(T) &= (\beta\gamma)^2 \frac{\partial^2}{\partial(\beta\gamma)^2} \sum_{n=1}^{\infty} \frac{1}{n} \frac{2}{\pi} \left(\frac{1}{\gamma\beta n} + \frac{1}{(\gamma\beta n)^3} + \dots \right) \\ &\simeq \frac{2\pi}{3\gamma\beta} + \frac{12\pi^3}{45(\gamma\beta)^3} + \dots \end{aligned} \quad (47)$$

Evaluarea corectiilor după N finit în Eq. (46) trebuie să tină cont de natura discretă a spectrului și existența "crossover"-lui la temperatură $T = T^* \sim \pi/N$ (am omis unitatile de masură) când energia termică devine comparabilă cu energia minima de excitare a sistemului, astfel ca un parametru fizic adecvat nu este temperatura ci raportul $P \equiv T/T^* = 4NT/\pi$. Pentru $P < 1$ funcția $C(T)$ are caracter exponential și pentru $T > T^*$ vom obține serile după T^*/T , ramanând totodata valabila restricție $T/\gamma < 1$ din Eq. (47). Pentru un lant liber substituim în (37) $x = 0$. Se poate demonstra că

$$A^{FB} = \sum_{n=1}^{\infty} \frac{1}{n} c_0(\beta) + \sum_{n=1}^{\infty} \frac{1}{n} \left(\sum_{k=1}^{\infty} \frac{2}{\pi} \int_0^{\pi} \exp(-\beta n \gamma \sin y) \cos(4kNy) dy - 1/N \right). \quad (48)$$

Functiile sub semnul integrării se pot trata prin metode asymptotice, deoarece $\beta n \gamma$ și kN iau valori mari. În mod similar se pot studia și restul condițiilor la limită. De exemplu, pentru cuplajul asimetric Stiff-Free $K = 2k$ și $K' = 0$ obținem soluția Eq. (40) $Q_m = (2m+1)\pi/2N$, prin care se ajunge la expresia

$$A^{SF} = \sum_{n=1}^{\infty} \frac{1}{n} c_0(\beta) + \sum_{n=1}^{\infty} \frac{1}{n} \left(\sum_{k=1}^{\infty} \frac{2}{\pi} (-1)^k \int_0^{\pi} \exp(-\beta n \gamma \sin y) \cos(4kNy) dy - 1/N \right).$$

Mai jos sunt prezentate rezultatele acestor calcule pentru caldura specifică, continand primii termeni semnificativi pentru diferite condiții la limită

$$C^{cyclic} \simeq \frac{2\pi}{3\beta} - \frac{1}{N}; \quad C^{FB} \simeq \frac{2\pi}{3\gamma\beta} - \frac{0.5}{N}; \quad C^{CB} \simeq (1 - 1/N) \frac{2\pi}{3\beta} - \frac{0.5}{N}; \quad C^{SF}(T) \simeq \frac{2\pi}{3\gamma\beta} - o\left(\frac{1}{N}\right), \quad (49)$$

$$C^W(T) \simeq \frac{2\pi}{3\gamma\beta} + \frac{0.5}{N}. \quad (50)$$

Din rezultatele obținute se poate trage concluzia că $C(T)$ a lantului atomic finit manifestă o dependență liniară de temperatură deplasată cu $\sim 1/N$ față de limita termodinamică. Valoarea acestei deplasări este negativă pentru condițiile la limită discutată de obicei (periodice, libere, fixe). Acest "shift" negativ este în concordanță cu legea Nernst (a 3-a lege a termoodinamicii), prin care caldura specifică tinde spre zero la $T = 0$. Aparentul conflict cu această lege, pe care îl demonstrează condițiile la limită de tipul asimetric, Liber-Fix, și, cu deosebire, Cuplaj Slab (Weak Coupling) Eq. (50), se datorează participării centrului de masa a sistemului la termodinamica sistemului și "crossoveru"-lui de la miscarea de translație la cea oscilatorie. Efectul centrului de masa pentru cuplajul slab ($\delta < \delta' \simeq 0.01$) este exemplificat în Fig.(13) la diferite valori ale numărului de atomi.

Este clar că la o anumită temperatură, vezi Eq.(44), $T'(\delta) \sim \frac{\sqrt{(1+\alpha)\delta N}}{N} < T^*$ dependența liniară trece în cea exponentială, asigurând respectarea legii Nernst, $C(T=0) = 0$, însă pentru acest tip de condiții la limită $T'(\delta)$ poate fi oricât de mic. Asemenea "conflict" aparent, dar și schimbarea capacității termice în dependență de puterea cuplajului cu mediul, pot avea aplicații interesante în nanofizică. De menționat că spre deosebire de creșterea capacității calorice din cauza impurităților (e.g. Schottky), care produce un maxim al funcției $C(T)$, miscarea CM se manifestă prin deplasarea lui $C(T)$ pe tot intervalul de temperaturi $T > T'$ la valori ce depășesc limita termodinamică. Dependența caldurii specifice de temperatură pentru diferite condiții la limită discutată este ilustrată de Fig.(14).

In concluzie, acest studiu ne arată că metoda prezentată poate fi utilizată cu succes pentru obținerea spectrelor de excitări colective la obținerea fizicii statistice a nanostructurilor tinând cont de condițiile la limită. Aproximatiile analitice gasite permit o înțelegere mai adecvată a fenomenelor fizice ce au loc în asemenea sisteme, în special la temperaturi scazute, caz în care rolul fluctuațiilor cuantice devine decisiv.

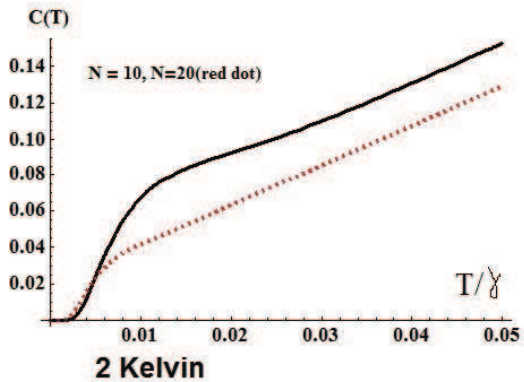


Figure 13: Caldura specifica a lantului atomic pentru conditii la limita de tip "Weak Coupling", pentru $\delta < \delta' \simeq 0.01$ si numar diferit de atomi N .

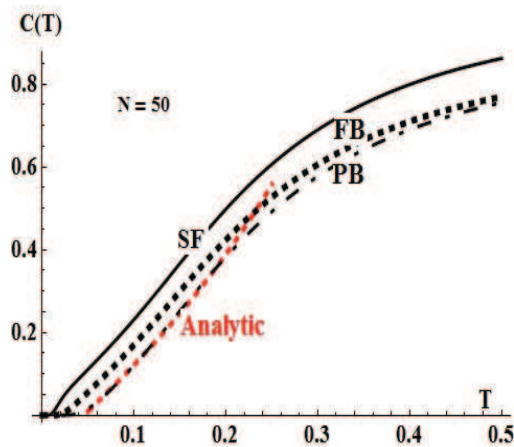


Figure 14: Caldura specifica a lantului atomic pentru diverse conditii la limita. Este aratata si solutia analitica (rosu punctat) pentru conditiile ciclice.

References

- [1] D. V. Anghel. *Phys. Lett. A*, 372:5745, 2008.
- [2] D. V. Anghel. *Physica Scripta*, 2012:014079, 2012.
- [3] D. V. Anghel, G. A. Nemnes, and F. Gulminelli. *Phys. Rev. E*, 88:042150, 2013.
- [4] S. Cojocaru, A. Naddeo, and R. Citro. *EPL*, 106:17001, 2014.
- [5] P. V. Hendriksen, S. Linderoth, and P.-A. Lindgard. *Phys. Rev. B*, 48:7259, 1993.
- [6] A. Demortier et al. *Nanoscale*, 3:225, 2011.
- [7] H. Huili et al. *Ceram. Intern.*, 41:6212, 2015.
- [8] M. Nahum, T. M. Eiles, and J. M. Martinis. *Appl. Phys. Lett.*, 65:3123, 1994.
- [9] *Cryogenic Particle Detection*. Springer, New York, 2005.
- [10] P. A. R. Ade et al. *Phys. Rev. Lett.*, 112:241101, 2014.

- [11] H. Q. Nguyen, M. Meschke, H. Courtois, and J. P. Pekola. Sub-50-mk electronic cooling with large-area superconducting tunnel junctions. *Phys. Rev. Appl.*, 2:054001, 2014.
- [12] M. A. Stroscio and M. Dutta. *Phonons in Nanostructures*. CUP, United Kingdom, 2004.
- [13] F. C. Wellstood, C. Urbina, and J. Clarke. *Phys. Rev. B*, 49:5942, 1994.
- [14] L. M. A. Pascal, A. Fay, C. B. Winkelmann, and H. Courtois. *Phys. Rev. B*, 88:100502(R), 2013.
- [15] S.-X. Qu, A. N. Cleland, and M. R. Geller. *Phys. Rev. B*, 72:224301, 2005.
- [16] Wang Xiao-Min, Lian Guo-Xuan, and Li Ming-Xuan. *Chin. Phys. Lett.*, 20:1084, 2003.
- [17] J. T. Karvonen and I. J. Maasilta. *Phys. Rev. Lett.*, 99:145503, 2007.
- [18] J. T. Karvonen and I. J. Maasilta. *J. Phys. Conf. Ser.*, 92:012043, 2007.
- [19] N. Bannov, V. Aristov, V. Mitin, and M. A. Stroscio. *Phys. Rev. B*, 51:9930, 1995.
- [20] B. A. Glavin, V. I. Pipa, V. V. Mitin, and M. A. Stroscio. *Phys. Rev. B*, 65:205315, 2002.
- [21] F. D. M. Haldane. *Phys. Rev. Lett.*, 67:937, 1991.
- [22] Y.-S. Wu. *Phys. Rev. Lett.*, 73:922, 1994.
- [23] J. Bardeen, L. N. Cooper, and J. R. Schrieffer. *Phys. Rev.*, 108:1175, 1957.
- [24] S. Cojocaru. *Int. J. Mod. Phys. B*, 20:593, 2006.
- [25] *Handbook of Mathematical Functions*. Dover, New York, 1972.
- [26] Z. Lindenfeld and R. Lifshitz. *Phys. Rev. B*, 87:085448, 2013.
- [27] F. W. J. Hekking, A. O. Niskanen, and J. P. Pekola. *Phys. Rev. B*, 77:033401, 2008.
- [28] F. C. Alcaraz, M. N. Barber, M. T. Batchelor, R. J. Baxter, and G. R. W. Quispel. *J. Phys. A*, 20:6397, 1987.